

УДК 622.278.273.2

**В.С. Фальшинський, канд. техн. наук,
Р.О. Дичковський, канд. техн. наук, доц.,
В.Г. Лозинський, П.Б. Саїк**

Державний вищий навчальний заклад „Національний гірничий університет“, м. Дніпропетровськ, Україна,
e-mail: dichre@yahoo.com

ДОСЛІДЖЕННЯ АДАПТАЦІЙНИХ ПРОЦЕСІВ СИСТЕМИ „ПОРОДОВУГІЛЬНИЙ МАСИВ – ПІДЗЕМНИЙ ГАЗОГЕНЕРАТОР“ НА СТЕНДОВІЙ УСТАНОВЦІ

**V.S. Falshtynskyi, Cand. Sci. (Tech.),
R.O. Dychkovskyi, Cand. Sci. (Tech.), Associate Prof.,
V.H. Lozynskyi, P.B. Saik**

State Higher Educational Institution “National Mining University”, Dnipropetrovsk, Ukraine,
e-mail: dichre@yahoo.com

RESEARCH OF ADAPTATION PROCESSES OF THE SYSTEM ‘ROCK AND COAL MASSIF – UNDERGROUND GASGENERATOR’ ON TEST BENCH INSTALLATION

Представлено результати дослідження технології свердловинної підземної газифікації вугілля на експериментальній стендовій установці з урахуванням гірничо-геологічних умов і технологічних параметрів процесу вигазування вугільного пласта. У процесі газифікації вугілля встановлено якісний склад генераторного газу і хімічних продуктів при різних умовах термічної переробки вугілля. Апробовано режими подачі дуття і відведення генераторного газу з урахуванням зміни герметичності моделі підземного газогенератора.

Ключові слова: *газифікація, вугільний пласт, породовугільний масив, газогенератор, стендова установка*

Мета і завдання експерименту. Об'єктом дослідження є процес свердловинної підземної газифікації вугілля (СПГВ).

Мета роботи – виявлення чинників, що характеризують процес підземної газифікації вугілля марки Д пласта с₅ Західного Донбасу з урахуванням зміни стану породовугільного масиву, що вміщає газифікаційний пласт. Визначення зміни параметрів аеротермохімічних показників процесу підземної газифікації в залежності від стану вміщуючих порід у міру вигазування вугільного пласта на фізичній моделі стендової установки.

Для досягнення поставленої мети на стендовій і лабораторній установці, а також аналітичним шляхом вирішувалися наступні задачі:

– встановити функціональність зміни складу газу СПГВ у міру зростання вигазованого простору при постійній витраті реагентів дуття і комбінованій схемі подачі реагентів дуття з урахуванням підвищеної вологості (44–67 %) підошви пласта і зольності (материнської і привнесеної при формуванні вугільного пласта-моделі) вугілля (36–42 %);

– встановити межу прогрівання порід безпосередньої покрівлі над вигазуваним вугільним пластом з урахуванням зміни стану порід у міру зростання вигробленого простору газогенератора;

– визначити якісний склад конденсату і золоуносів при підземній газифікації модельованого вугільного пласта з урахуванням його елементного складу;

– встановити параметри формування реакційного каналу з урахуванням режимів: розпалювання, формування зони окислення (процес спалювання вугілля ПСВ) з переходом до формування стабільних зон ек-

зотермічних і ендотермічних реакцій по довжині вогняного вибою реакційного каналу підземного газогенератора (процес підземної газифікації вугілля ПГВ).

Обґрунтування критеріїв подібності до натурних умов. Проведення експериментів на наземних стендових установках направлено на імітацію процесів СПГВ з урахуванням моделювання геологічних умов і технологічних параметрів [1].

З метою імітації на стендових установках процесу свердловинної газифікації вугільного пласта були встановлені геометричні, механічні і кінематичні масштабні коефіцієнти, що дозволяють виконати умови подібності.

Тиск у моделі підземного газогенератора і якісний склад генераторного газу в масштабі подібності відповідає натурним умовам. Витрата повітря при повітряному дутті, згідно з проектними даними, складе 7930 м³/г (2,32 м³/кг вугілля), для дуття збагаченим киснем – 4911–5127 м³/г (1,89 м³/кг вугілля).

Розрахунок матеріально-теплового балансу стендової установки СПГВ. У табл. 1 наведені дані для розрахунку матеріально-теплового балансу процесу СПГВ на стендовій установці.

Математична модель матеріально-теплового балансу процесу СПГВ на стендовій установці забезпечувалася програмою „MTBalanse SPGU“, розробленою співробітниками кафедри підземної розробки родовищ Національного гірничого університету. У ній передбачений алгоритм розрахунку параметрів процесу свердловинної підземної газифікації вугілля, який пов'язаний з термохімічними перетвореннями твердого палива в газоподібний стан і конденсат при заданому елементному складі вугілля, зовнішнього водопріпліву і теплового балансу підземного газогенератора [2]. Параметри процесу газифікації вугільного пласта на стенді СПГВ представлена в таблицях 2, 3, 4, 5.

РОЗРОБКА РОДОВИЩ КОРИСНИХ КОПАЛИН

Таблиця 1

Елементний і технічний склад вугілля пласта c_5

W^r %	W^a %	A^c %	S^d %	V^{daf} %	C^{daf} %	H^{daf} %	O^{daf} %	N^r %	Q' МДж/кг	Щільність вугілля, г/см ³	Довжина реакційного каналу, м	Потужність пласта, м	Водо- приплів, м ³ /т
45,8	46,9	36	1,6	42,2	80,3	5,5	7,2	5,0	23,4	1,2	1,8	0,2	0,1

Таблиця 2

Параметри матеріально-теплового балансу процесу газифікації вугілля пласта c_5 ,
для стендової установки

Тип дуття	Пара- метри дуття, м ³ /год	Вихід газу СПГВ із газогенератора, %							Швид- кість вигазову- вання вугільно- го пласта, м/доб	Хіміч- ний ККД, %	Теплота згорання газу СПГВ, МДж/м ³	Енергія зон підзе- много газогенера- тора, МДж	Воло- гість га- зу СПГВ, г/м ³	Інтенси- вність газифі- кації вугілля, т./год	
		H ₂	CH ₄	CO	N ₂	H ₂ S	CO ₂	O ₂							
Повітряне	162	11,9	4,67	5,03	61,26	0,22	15,98	0,85	1,7	54,27	3,61	1547,7	-565,48	459	0,09
Пароповітряне O_2 N_2 пара	258 28,4 144,5 85,1	18,5	5,79	4,02	45,34	0,32	24,52	1,48	1,62	57,38	3,76	516,64	-884,14	518	0,18
Кисневе O_2 N_2	132 54,2 77,8	8,54	5,21	24,16	41,84	0,37	18,54	1,33	1,21	64,74	6,37	1616	-794,89	507	0,108

Таблиця 3

Тепловий баланс газифікації вугільного пласта c_5 на стендовій установці СПГВ

Показники	Тип дуття					
	Повітряне		Кисневе		Пароповітряне	
	МДж/кг	%	МДж/кг	%	МДж/кг	%
Теплота згорання на робоче паливо	23,454	95,836	23,454	88,854	23,454	93,020
Тепломісткість масиву в зоні окислення (горіння)	0,701	2,864	1,154	4,372	0,653	2,590
Тепломісткість дуття	0,318	1,299	1,788	6,774	1,107	4,390
Усього:	24,473	100,000	26,396	100,000	25,214	100,000
Теплота згорання газу СПГВ	3,610	15,391	6,370	24,308	3,760	14,732
Втрати тепла:						
1. Нагрівання золи і шлаку, МДж	0,312	1,330	0,214	0,817	0,316	1,238
2. Нагрівання і випаровування вологи (водоприпліву і вологості вугілля, порід), МДж	3,708	15,809	2,634	10,052	4,047	15,856
3. Нагрівання вміщуючих порід (покрівля, підошва), МДж	9,206	39,250	7,983	30,464	9,410	36,869
Тепломісткість сухого генераторного газу	6,619	28,220	9,004	34,360	7,990	31,305
Усього:	23,455	100,000	26,205	100,000	25,523	100,000
Температура газу в газовідвідній системі стенду, °C		143		187		115

Таблиця 4

Витрата дуття і вихід газу СПГВ

Тип дуття	Витрата дуття		Вихід газів СПГВ	
	м ³ /год	м ³ /доб	м ³ /год	м ³ /доб
Повітряне	162	3888	221	5304
Пароповітряне	258	6192	370	8880
Кисневе	132	3168	207,4	4978

Розрахунковий вихід основних хімічних продуктів при моделюванні процесу СПГВ (кг)

Тип дуття	Вихід хімічних продуктів газифікації, кг			
	Кам'яно- вугільна смола	Бензол	Аміак	Сірка
Повітряне	73,7	20,48	32,8	1,02
Пароповітряне	84,9	43	57,3	1,02
Тип дуття	96,2	44	66,5	1,2

Конструктивні особливості стендової установки.

Необхідність проведення експериментів на стендових моделях пояснюється потребою ретельнішого вивчення властивостей кам'яного вугілля Західного Донбасу і поведінки породного масиву в процесі вигазування вугільного пласта, а також отримання початкових даних для розробки методики проведення досліджень у природних умовах на експериментальній ділянці СПГВ [3, 4].

Експериментальна стендова установка спроектована і запатентована в НГУ і побудована НВО „Неф-

темаш“ при фінансовій підтримці Міністерства освіти і науки України. Змонтована і підготовлена за сприянням технічних служб шахти „Ювілейна“ ВАТ „Павлоградвугілля“ і знаходиться на території проммайданчика (рис. 1).

Розгорненим варіантом стендової установки є модель підземного газогенератора. У загальному вигляді установка складається з трьох елементів: дуттєвої системи, випробувального стенду з контрольно-вимірювальним блоком і газовідвідної системи.



Рис. 1. Загальний вигляд і монтаж експлуатаційних систем стенду СПГВ: 1 – компресор РМ-3138; 2 – парогенератор АВПЕ-11/9; 3 – керуючий високонапірний трубопровід; 4 – ресивери (повітряний, паровий і кисневий); 5 – водний резервуар; 6 – бак-охолоджувач; 7 – витратомір IPBIC-300C; 8 – вапняний фільтр (уловлення H_2S); 9 – димосос ДР-1,0-00.00ПС; 10 – димовідвід; 11 – бак збору роси і золоуносів; 12 – керуючий гнучкий трубопровід; 13 – стендова установка; 14 – розпалювальна свердловина; 15 – платформа зміни кута нахилу стенду

Центральною ланкою моделі є випробувальний стенд (рис. 1), зварений з листової сталі. Стенд виконаний з однієї секції ($2,2 \times 2,5 \times 2,0$ м) з активною площинами. Герметизація стенду передбачається знімною двоблоковою кришкою, обладнаною активними гніздами (16 шт.) для датчиків переміщення (реперів) і термопар.

Для зменшення втрат тепла стенд із середини ізольований теплоізоляційним матеріалом (жаростійка цегла і шамот) по периметру модельованого породо-вугільного масиву і по підошві вугільного пласта (рис. 2, а, б). Жаростійка цегла забезпечувала теплоізоляційну герметичність випробувального стенду по контуру вугільного пласта.

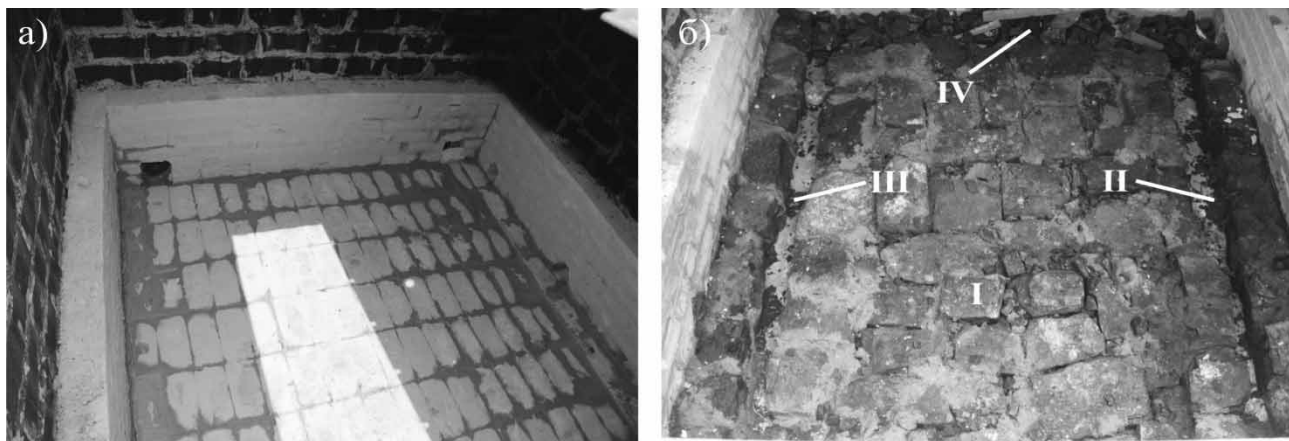


Рис. 2. Модель підземного газогенератора: а) теплоізоляція стенду; б) формування вугільного пласта: I – вугільний пласт; II – дуттєва свердловина; III – газовідвідна свердловина; IV – реакційний канал (імітація гідророзриву)

Дуттєва система складається з компресора РМ-3138, парогенератора АВПЕ-11/9, ресиверів – 4 шт., розподільників, трубопроводу і витратоміру IPBIC 300К, а також з гумового високонапірного шланга і керуючого високонапірного трубопроводу $d = 3$ см, з перфорованою жаростійкою насадкою на кінці, рис. 1 (3). Високонапірний трубопровід імітує роботу довгомірного гнучкого трубопроводу, забезпечує перенесення подачі дуття у міру вигазування вугільного пласта. Керуючий трубопровід подається через різьбовий отвір у стінці стенду по імітаційній дуттєвій свердловині в пласті моделі (рис. 2, б).

Газовідвідна система (рис. 1) складається зі збірного бака з лотком для збору золоуносів (11), газовідвідної магістралі з розподільною арматурою і контролально-вимірювального блоку (манометри, пірометри, газоаналізатори GASBOARD-3200L, BX170 і витратомір IPBIC 300C), бака-охолоджувача (6) з баком для збору конденсату, вапняного фільтру (8) і димососа (9).

Компресори, димосос і парогенератор живляться від шахтної електромережі напругою 380 В, контролно-вимірювальна апаратура – 220 В, сумарна потужність стенду 40 кВт.

Формування вугільного пласта здійснювалося блоками розміром $0,2 \times 0,5 \times 0,1$ м (рис. 2, б). Формуються блоки (цеглини) вугільного пласта за допомогою ріжучого інструменту (болгарки) у відповідності до натурного пласта (масштаб 1:10).

Днище і стінки стенда обкладалися теплоізоляцією (жаростійка цегла і шамот), підошва пласта викладається породою (глинистий сланець), потім викладався вугільний масив із „цегли“, яка скріплялася між собою цементним розчином.

У пласті залишався вільний простір для імітації нагнітальної і газовідвідної свердловин та каналу газифікації. Реакційний канал формується зі шматків вугілля фракцією 2,5–6,8 см (1 частина цементу до 10 частин вугільного штибу), імітуючи гідророзрив пласта між експлуатаційними свердловинами.

Після висихання зверху вугільного пласта укладалася безпосередня покрівля з урахуванням коефіцієнтів тепlopровідності, теплоємності і температуропровідності порід. Безпосередня (глинистий сланець) і основна (піскуватий сланець) покрівля формувалася з шахтної породи і шамотного розчину, що забезпечило дотримання в модельних умовах теплових коефіцієнтів.

Потужність безпосередньої покрівлі, згідно з масштабом – 0,8 м. За рахунок герметизації і теплоутілізації порід безпосередньої покрівлі забезпечувалися параметри проникності, тепlopровідності, температуропровідності і теплоємності надвугільного масиву. Формування породовугільного масиву з встановленням термопар і реферів у моделі підземного газогенератора показано на рис. 3 а, б.

Керування процесом газифікації здійснювалося подачею дуття від компресора РМ-3138 по високонапірному гнучкому шлангу, який був сполучений з високонапірним трубопроводом і жаростійкою насадкою.

Варіювання тиском у зоні окислення (екзотермічні процеси) реакційного каналу і відведення генераторних газів із зони відновлення (ендотермічні процеси) газогенератора, із забезпеченням рівноваги фізичних швидкостей і кінетики реакцій, забезпечувалося комбінованою подачею дуттєвої суміші у пульсуочному режимі.



Рис. 3. Модель підземного газогенератора: а) формування породовугільної товщі підземного газогенератора; б) встановлення термопар і реперів: 1–8 система термопар (зліва) та датчиків переміщення (справа)

Параметри закладання термопар і реперів у породовугільній товщі наведені в табл. 6.

Таблиця 6

Параметри закладання термопар і реперів

№ термопари та реперу	Глибина закладання, м	Відстань від термопари, м		
		до дуттєвої свердловини	між рядами	до газовідвідної свердловини
Перший ряд				
1	0,1-0,4	0,1	0,7	0,1
2	0,1-0,4	0,4	0,7	0,4
3	0,1-0,4	0,4	0,7	0,4
4	0,1-0,4	0,4	0,7	0,4
Другий ряд				
5	0,2-0,5	0,4	0,7	0,4
6	0,2-0,5	0,4	0,5	0,4
7	0,2-0,5	0,4	0,5	0,4
8	0,2-0,5	0,4	0,5	0,4

Дослідження технології свердловинної підземної газифікації вугілля на стендовій установці.

На експериментальній стендовій установці в 2011 р. досліджувалися закономірності зміни параметрів процесу газифікації у міру вигазування вугільного пласта:

- реактивність вугільного пласта при його розпалюванні в комбінованому режимі і відведення дуття генераторних газів;

- параметри прямого пропалення реакційного каналу газогенератора в комбінованому режимі з урахуванням імітаційного гідророзриву між експлуатаційними свердловинами;

- умови стабільності процесу газифікації вугільного пласта у міру зростання вигазованого простору і деформації порід покрівлі;

- зміна складу генераторного газу з урахуванням імітаційних геологічних умов і параметрів газифікації вугільного пласта;

- складу і концентрацій хімічних компонентів (аміаку, сірки, піridинових основ, бензольних вугле-

водів, смоли та інших хімічних компонентів) у газо-конденсаті генераторного газу з урахуванням зміни стану породовугільного масиву.

Розпалювання вугільного пласта здійснювалося через бічні отвори $d = 100$ мм. Для здійснення процесу в розпалювальну свердловину закидають розжарене вугілля.

Через трубопровід із жаростійкою насадкою, укладеною в дуттєвій свердловині, подавалося повітряне дуття під тиском $P = 0,3$ МПа на розжарене вугілля, що приводило до утворення займання вугільного пласта в температурному режимі $510\text{--}523$ °C, при фіксованій середній температурі – $510,7$ °C.

При цьому фронт прогрівання пласта співпадав з рухом дуття в напрямку прямого пропалення реакційного каналу газогенератора. Тиск при цьому збільшувався $P = 0,42\text{--}0,5$ МПа, пропалення каналу здійснювалося зі швидкістю $0,8\text{--}0,95$ м/год. Згідно з експериментом, подача дуття здійснювалася в нагнітальному режимі.

Перехід на комбінований режим „компресор – димосос“ дозволив зменшити тиск до $0,3\text{--}0,41$ МПа і збільшити швидкість пропалення до $1,3\text{--}1,5$ м/год. Після розпалення пласта і пропалення реакційного каналу (6 година експерименту) процес перейшов у формування зон реакційного каналу. При стабілізації режиму газифікації (8 год) на термопарі (4) (рис. 3, б) була зафіксована температура $667\text{--}735$ °C, на термопарі (3) $822\text{--}901$ °C, зменшився вміст кисню O_2 в продуктах СПГВ до 2,0 %, вміст вуглекислого газу зменшився до 15,9%.

Після 13 годин експерименту спостерігалася дестабілізація процесу газифікації (зниження температури газу по довжині каналу, зростання у складі газів забалансових елементів). Це було, очевидно, пов’язано зі зростанням вигазованого простору ($S_{\text{пр.в.}} = 1,88$ м²) і наявністю свищів в опорній зоні вогняного вибою, у зв’язку з тріщинуватістю шамотної глини, яка застосовувалася як герметик і теплоізолятор. Параметри температур фіксувалися за допомогою термопар (стационарний режим) і пірометра (динамічний режим), рис. 4.

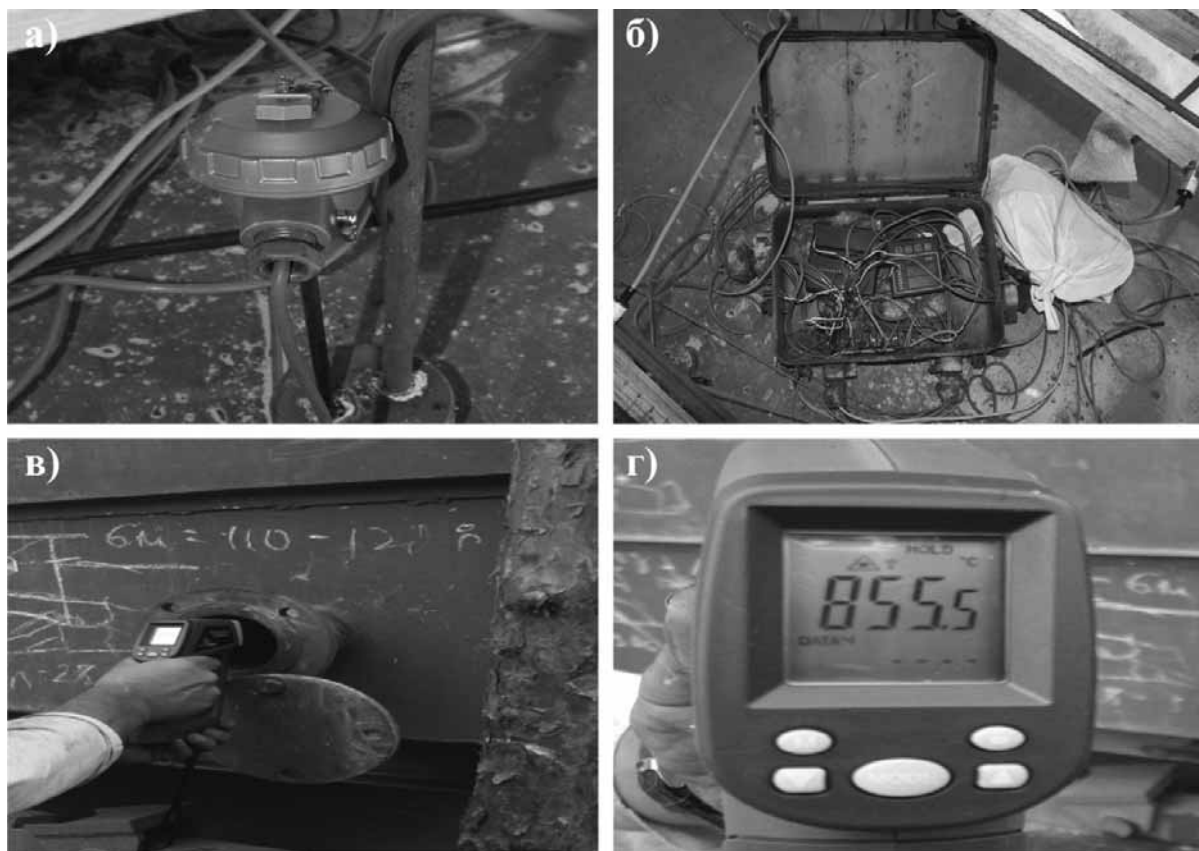


Рис. 4. Прилади для вимірювання температур: а, б – у стаціонарному режимі (термопари); в, г – у динамічному режимі (пірометр)

Враховуючи існуючу ситуацію, тиск дуття був знижений до $P = 0,1\text{--}0,14$ МПа і введений комбінований режим подачі дуттєвої суміші, що дозволило протягом двох годин підтримувати процес газифікації в стабільному стані.

Слід зазначити, що нестабільність процесу газифікації на першому етапі виникла у зв'язку з втратами тепла до 45–66 %. Середній показник вологості генераторного газу у ході експерименту визначається за виразом

$$W_P = \frac{\gamma_B}{V^k} \cdot (0,111 \cdot H^r + 0,0124 \cdot W^r + 0,016 \cdot V^o + \frac{\gamma_B}{g}) =$$

$$\frac{0,804}{2,3} \cdot (0,111 \cdot 5,4 + 0,0124 \cdot 36 + 0,016 \cdot 7,46 + \frac{0,804}{3,1}) = 0,429 .$$

У пласті вугілля і породній товщі (підошві) відбувалося випаровування вологи. Вологість породного масиву склала 30,6–45,7 %, а зольність вугільного пласта $A_c = 36\text{--}45$ %, яка збільшилася внаслідок скріплення блоків вугілля між собою глиноцементним розчином для створення масиву.

Зміна температур газу по довжині реакційного каналу, залежно від режиму вигазовування вугільного пласта і формування зон екзотермічних і ендотермічних реакцій у міру стабілізації процесу, представлена на рис. 5.

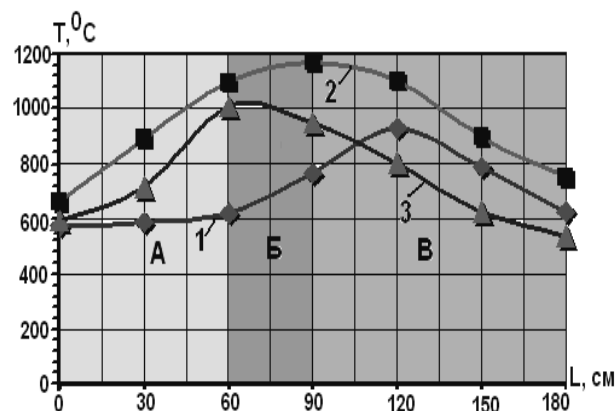


Рис. 5. Зміна температури газу по довжині реакційного каналу залежно від режиму вигазовування вугільного пласта і формування зон екзотермічних і ендотермічних реакцій у міру стабілізації процесу: А – окислювальна зона; Б – перехідна зона; В – відновлювальна зона; 1 – розпалювання пласта і пропалення реакційного каналу, 2 – режим газифікації вугільного пласта, 3 – режим затухання процесу газифікації

У табл. 7 представлені показники складу генераторного газу, отриманого під час проведення експерименту.

Таблиця 7
Склад вихідних газів

Час від початку процесу, год	Компоненти генераторного газу						
	CH ₄ , %	CO, %	H ₂ , %	CO ₂ , %	N ₂ , %	H ₂ S, %	O ₂ , %
3:30	1,8	4,7	3,2	20,3	65,2	1,5	3,3
4:30	2,1	6,2	4,9	19,7	63,4	1,4	2,3
5:30	2,4	7,8	6,6	19,1	60,5	1,4	2,2
7:00	2,9	9,4	7,5	18,2	58,4	1,3	2,3
9:00	4,4	9,8	10,1	15,9	55,8	1,4	2,6
11:00	3,8	9,2	8,3	17,2	54,4	1,3	5,8
13:00	3,6	8,5	7,4	17,4	56,35	1,35	5,4
15:00	3,2	5,1	6,5	17,55	60,81	1,36	5,48
16:00	2,2	3,7	4,6	17,6	65,1	1,4	5,4
18:00	1,2	2,8	2,6	17,5	68,9	1,3	5,7

Температурний режим і вихід горючих компонентів, залежно від температурного режиму експерименту на стендовій установці СПГВ, показаний на графіку (рис. 6).

На ділянці горіння (окислювальна зона 0,34–0,45 м) температура в каналі газогенератора змінилася з 510 до 1139 °C.

У результаті експерименту на стендовій установці підземної газифікації вугілля були отримані дані про прогрівання порід, що вміщають газогенератор, склад генераторного газу, параметри розпалювання вугільного пласта, пропалення реакційного каналу із застосуванням комбінованого режиму спалювання вугілля. Температура на цій ділянці змінювалася по довжині вогняного вибою в межах 1005–618 °C.

Параметри процесу спалювання і газифікації вугілля на експериментальній стендовій установці, при різних режимах термічної переробки вугілля, представлені в табл. 8.

Таблиця 8

Параметри процесу спалювання і газифікації вугільного пласта на стендовій моделі СПГВ

Час від початку процесу, год	Тиск, МПа		Об'ємні показники, м ³ /год		Посування дуття, см	max t °C/по каналу, м
	ресивер	дуття	дуття	газу		
Розпалювання пласта і пропалення реакційного каналу						
3:30	0,3	0,1	188,6	288,9	0	572/0,14
4:00	0,3	0,1	187,9	269,7	0	590/0,22
4:30	0,3	0,14	250,6	365,8	0	621/0,22
5:00	0,55	0,32	266,7	384,2	0	765/0,45
5:30	0,56	0,34	270,5	391,4	0,02	814/0,57
6:00	0,54	0,32	271,2	388,5	0,02	825/0,84
6:30	0,55	0,32	270,8	390,6	0,02	929/0,92
Режим газифікації вугільного пласта						
7:00	0,25	0,11	222,0	342,1	0,02	1044/0,94
7:30	0,27	0,15	222,3	345,3	0,04	1139/0,95
8:00	0,25	0,12	232,7	354,6	0,04	1159/0,92
8:30	0,22	0,1	233,5	353,5	0,04	1173/0,9
9:00	0,22	0,1	243,7	363,6	0,04	1154/0,9
9:30	0,2	0,1	245,7	365,9	0,06	1114/0,88
10:00	0,28	0,17	249,6	370,7	0,06	1093/0,85
Режим затухання процесу газифікації						
11:00	0,15	0,1	215,7	322,8	0,06	1090/0,82
11:30	0,16	0,1	217,2	324,5	0,07	1005/0,76
12:00	0,12	0,095	213,8	319,3	0,07	1005/0,75
12:30	0,17	0,095	218,4	320,4	0,07	1004/0,8
13:00	0,18	0,089	220,2	313,3	0,07	996/0,77
13:30	0,15	0,085	217,0	305,6	0,08	989/0,75
14:00	0,19	0,085	225,1	302,2	0,08	918/0,74
14:30	0,21	0,091	226,8	302,1	0,09	852/0,76
15:00	0,2	0,086	221,9	273,5	0,09	811/0,8
15:30	0,18	0,075	220,1	245,8	0,11	762/0,73
16:00	0,16	0,07	219,6	240,2	0,12	744/0,75
17:30	0,15	0,067	218,7	237,7	0,12	675/0,69
18:00	0,1	0,051	203,6	225,8	0,14	558/0,61



Рис. 6. Температурний режим (t^o) і вихід горючих компонентів (V) залежно від часу початку експерименту (t)

У табл. 9 наведенні результати аналізу рідких продуктів газифікації вугільного пласта, отриманих під час експерименту на стендовій установці.

Конденсат представляє собою рідину світло-зеленого кольору з наявністю твердих речовин і не характерним для коксохімічного підприємства запахом, що нагадує запах дьогтю. При тривалому контакти з повітрям проба набуває чорного кольору.

Енергетичні показники процесу газифікації вугілля, у ході експерименту на стендовій установці, представлена в табл. 10.

Аналізуючи результати експериментів, можна констатувати, що на відстані 0,5 м (2 м в натурі) від газифікованого пласта, породи покрівлі піддаються інтенсивному прогріванню газоподібними продуктами свердловинної підземної газифікації вугілля за рахунок їх міграції по тріщинах і розшаруваннях у надвугільному масиві.

Таблиця 9

Результати аналізу конденсату, отриманого під час експерименту

№ п/п	Найменування показників	Кількість, мг/м ³	Кількість, г/м ³	кг/612кг вугілля	г/кг вугілля
1	Феноли	7 500	7,5	4,60	7,53
2	Сірководень	11 900	11,9	7,31	11,95
3	Аміак летючий	3 100	3,1	1,90	3,11
4	Аміак зв'язаний	2 580	2,58	1,58	2,59
5	Смоляністі речовини	5 450	5,45	3,34	5,47
6	Ароматичні з'єднання	100	0,10	0,06	0,10
7	Амоній тіосульфату	112 000	112	68,80	112,43
8	Амоній сульфату	27 000	27	16,58	27,10
	Усього	142 630	142,63	87,62	143,18

Таблиця 10
Енергетичні показники процесу газифікації

Кількість вигазованого вугілля, кг	Вихід генераторного газу, м ³		Теплова потужність стенду, Гкал		Потужність стенду, МВт	Q, МДж/м ³	Вихід хім. продуктів г/кг вугілля
	генераторний газ	(CH ₄ , CO, H ₂)	за 1 год	за 15 год			
612	1432,1	529,4	2,89	43,35	3,35	2,13	0,143

Інтенсивність прогрівання починає падати по потужності порід (глинистого сланцю) над вигазуваним вугільним пластом за рахунок зменшення розмірів порушеного масиву.

Ступінь прогрівання порід покрівлі над модельючим газогенератором при різних значеннях тиску в стабільному режимі газифікації представлений на рис.7.

При зміні тиску до 0,5 МПа в окремих місцях надвугільної товщі стенду спостерігалися прориви на поверхню газоподібних продуктів СПГВ. Це відбулося на 10 годині експерименту, при варіюванні тиску зі збільшенням вигазованого простору збільшувалися втрати газу і дуття, погіршувалися якісні показники процесу вигазування вугільного пласта.

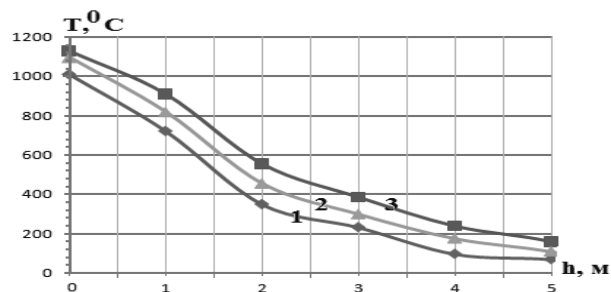


Рис. 7. Ступінь прогрівання порід покрівлі при різних значеннях тиску в стабільному режимі газифікації: 1-p=0,15 МПа; 2-p=0,22 МПа; 3-p=0,35 МПа; h – потужність прогріву порід покрівлі; T – температура у реакційному каналі

Ступінь прогрівання порід надвугільної товщі залежить від тиску в газогенераторі і від стану дуттєвої суміші (рис. 7). Зсув порід покрівлі в підземному газогенераторі пов'язаний з гірничо-геологічними умовами і технологічними параметрами підземного газогенератора та процесом вигазування вугільного пласта. Зсув порід покрівлі над газогенератором в умовах експерименту фіксувався по простяганню і підняттю вугільного пласта. Криві, які характеризують зсуви порід покрівлі у міру вигазування вугільного пласта в умовах стенду, представлені на рис. 8.

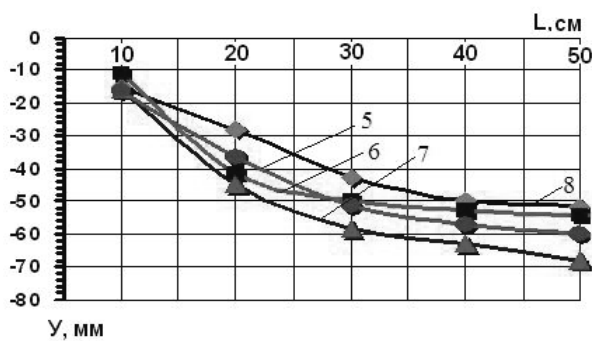


Рис. 8. Опускання порід покрівлі в міру вигазування вугільного пласта: 5, 6, 7, 8 – репера в безпосередній покрівлі пласта (рис. 3); L – довжина напівпрогону газогенератора, Y – опускання порід покрівлі модельованого газогенератора

Як показано на графіку, опускання порід покрівлі в максимумі склало 67,2 мм, що пов'язано з упорядкованим опусканням покрівлі на золозалишок, який склав 15–18% від потужності газифікованого вугільного пласта. Спучення порід покрівлі над вогняним вибоєм вираховувалося, виходячи з коефіцієнта спучення $K_{v,p} = 1,27\text{--}1,42$.

Висновки:

1. Достовірність моделі процесу СПГВ на стендовій установці забезпечується встановленням критеріїв подібності газифікації вугілля до гірничо-геологічних умов натури і параметрів стендів.

2. Застосування комбінованої системи подачі дуття і відведення генераторних газів дозволяє на 40 % скоротити час на розпалювання пласта і на 32 % збільшити швидкість формування реакційного каналу при зменшенні витрат дуття на 14–18 %.

3. Стабільність газифікації вугілля, при порушенні порід покрівлі, при збільшенні вигазованного простору газогенератора, забезпечується: достатньою герметичністю підземного газогенератора, варіюванням температури та тиску дуттєвої суміші, точкою переносу і режимом подачі, збалансуванням компонентів дуття, а також підтримкою і контролем теплового і адіабатичного режиму зон реакційного каналу.

4. При стабільному режимі газифікації і підвищенні вологості порід 30–36 % забезпечується вихід генераторного газу $2,34 \text{ м}^3/\text{kg}$ вугілля з теплотою згорання $2,13 \text{ МДж}/\text{m}^3$, вихід хімічних речовин $0,14 \text{ кг}/\text{kg}$ вугілля і вміст горючих компонентів у генераторному газі (повітряне дуття) – 21–30 %.

Список літератури / References

1. Колоколов О.В. Теория и практика термохимической технологии добычи и переработки угля / [О.В. Колоколов, Н.М. Табаченко, А.М. Ейшинский и др.] – Днепропетровск: НГА Украины, 2000. – 281с.
2. Kolokolov O.V. Theory and practice of thermochemical technology of coal mining and processing / [O.V. Kolokolov, N.M. Tabachenko, A.M. Eyshevskiy et al.] – Dnepropetrovsk: NGA Ukraine, 2000. – 281 p.
3. Chen F. The UCG progress in China / F. Chen. In: Proceedings of the 3rd International UCG conference. London, UK // Underground coal gasification partnership; 2008.
4. Фальшинський В.С. Сучасний досвід підземної газифікації / В.С. Фальшинський, Р.О. Дичковський, К. Станчик // Міжнародна науково-практическая конференция, 19–21 октября 2010 г, Київ, Україна, – К.: Інститут газа НАНУ; 2010. – С. 27–30.
5. Falsztynskyi V.S. Modern expierience of underground coal gasification / V.S. Falsztynskyi, R.O. Dychkovskyi, K. Stanchyk // International practical conference, October 19–21, 2010, Kiev, Ukraine, – K.: NAS gas institution; 2010. – P. 27–30.
6. Falsztynskyi V. Economic indicators of BUCG experimental station in the SC Pavlogradugol conditions / V. Falsztyncki, R. Dyczwski, O. Zasiedatilev // Proceedings of the school of underground mining, Dnipropetrovsk-Yalta: Ukraine, October 2–8, 2011. – P. 201–207.

Представлены результаты исследований технологии скважинной подземной газификации угля на экспериментальной стеновой установке с учетом горно-геологических условий и технологических параметров процесса выгазовывания угольного пласта. В процессе газификации установлен качественный состав генераторного газа и химических продуктов в разных условиях термической переработки угля. Аппробированы режимы подачи дуття и отвода генераторного газа с учетом изменения герметичности газогенератора.

Ключові слова: газифікація, угольный пласт, породоугольный массив, газогенератор, стендовая установка

The results of borehole underground coal gasification researches on a test bench installation with account taken of technological and geological conditions and technological parameters of coal seam degasation process are examined. During the gasification experiment the qualitative composition of generator gas and chemical products obtained at different thermochemical conditions of coal processing were determined. The modes of gas draught and discharge taking into account permeability of gas generator are tested.

Keywords: gasification, coal seam, rock and coal massif, gas generator, test bench installation

Рекомендовано до публікації докт. техн. наук В.І. Бузилом. Дата надходження рукопису 11.05.11.